

جمهوری اسلامی ایران
وزارت صنایع و معادن
سازمان زمین‌شناسی و اکتشاف معدنی کشور

پروژه سیستماتیک در زون خوی - اشنویه

گزارش برداش و تفسیر داده‌های ژئوفیزیک هوایی به روش مغناطیس سنجی
در برگه ۱:۱۰۰،۰۰۰ فره ضیاءالدین

مجری طرح: مهندس محمد تقی کره‌ای
 مجری فنی: مهندس ایرج نوایی

تهیه کنندگان:

مرتضی قنبری محمود مؤیدنی

زمستان ۱۳۷۹

الف

فهرست مطالب

| <u>صفحه</u> | <u>عنوان</u> |
|-------------|------------------------------|
| ۱ | مقدمه |
| ۳ | موقعیت جغرافیایی و مورفولوژی |
| ۴ | زمین‌شناسی منطقه |
| ۵ | چینه‌شناسی منطقه |
| ۹ | بررسیهای مغناطیس سنجی |
| ۲۰ | نتیجه‌گیری |

ب

اسامی نقشه‌ها

| | |
|--------------|----------------------------|
| نقشه شماره ۱ | نقشه شدت کل میدان مغناطیسی |
| نقشه شماره ۲ | نقشه برگردان به قطب |
| نقشه شماره ۳ | نقشه مشتق اول قائم |
| نقشه شماره ۴ | نقشه سیگنال |
| نقشه شماره ۵ | نقشه گسترش به طرف بالا |
| نقشه شماره ۶ | نقشه بازتابش |
| نقشه شماره ۷ | نقشه تفسیری - تکمیلی |

مقدمه:

یکی از روش‌های مورد استفاده در علم ژئوفیزیک، روش مغناطیس سنجی می‌باشد که می‌توان آن را هم به صورت زمینی و هم به صورت هوایی انجام داد. اطلاعات بدست آمده در روش مغناطیس سنجی هوایی را می‌توان در شناسایی و آگاهی بهتر از ساختارهای زمین‌شناسی، تغییرات لیتلولوژیکی در اعماق که قادر بیرون زدگی در سطح می‌باشند و همچنین برای ارتباط بهتر آنها در مناطق با بیرون زدگی کم، مورد استفاده قرار داد.

گسلها محلی مناسب برای حرکت محلول‌های کانی ساز و در نتیجه کانی‌زایی می‌باشند و همچنین در مطالعات زلزله‌خیزی یک ناحیه باید به طور دقیق شناسایی شوند و با توجه به رخمنون نداشتن بسیاری از آنها در سطح، داده‌های مغناطیسی را می‌توان به عنوان ابزار مهم و کارآمد برای شناسایی آنها مورد استفاده قرار داد. در عملیات اکتشاف نفت، روش مغناطیس سنجی یکی از روش‌هایی می‌باشد که در مراحل اولیه اکتشاف برای شناسایی طاقدیسها و دیگر ساختارهای زمین‌شناسی که امکان وجود نفت در آنها می‌باشد، مورد استفاده قرار می‌گیرد. از دیگر کاربردهای این روش، می‌توان به تعیین دقیق‌تر موقعیت و گستره توبدهای نفوذی مدفون و همچنین دیگر ساختارهای زمین‌شناسی که با دید مستقیم یا عکس‌های هوایی قابل رویت نیستند، اشاره نمود. اجرای عملیات در روش مغناطیس سنجی هوایی با استفاده از هوایپیما یا هلی‌کوپتر انجام می‌گیرد. سپس اطلاعات بدست آمده از منطقه مورد نظر را در طی یک سری از مراحل و با استفاده از نرم افزارهای موجود، به صورت نقشه‌های مغناطیسی (مانند Image گرادیان قائم و...) در می‌آورند. مرحله بعدی، تفسیر سیستماتیک این نقشه‌ها می‌باشد. معمولاً بر روی نقشه‌های مغناطیسی، در بعضی از مناطق وجود یک سری ناهنجاری‌ها مشخص می‌شود که در مرحله تفسیر باید این ناهنجاری‌ها را با کانی سازی (بطور مثال سولفیدی) در منطقه انطباق داد. همچنین باید ارتباط این ناهنجاری‌ها با واحدهای لیتلولوژیکی در منطقه و ارتباط این واحدها با کانی‌زایی را مشخص نمود. برای ارائه

یک تفسیر بهتر از ناهنجاری‌های مغناطیسی موجود در نقشه‌ها، می‌توان از اندازه‌گیری‌های مغناطیسی زمینی جدید، و برداشت نمونه‌ها از مناطق دارای بیرون زدگی و یا مناطق فاقد بیرون زدگی در طول یک سری از پروفیل‌ها و اندازه‌گیری خواص مغناطیسی این نمونه‌ها برای مقایسه تغییرات لیتلولوژیکی حاصل از نقشه‌ها با تغییرات زمین‌شناسی نقشه‌برداری شده، استفاده نمود. از ویژگیها و محسنات روش مغناطیسی، عدم وابستگی اطلاعات مغناطیسی به بیرون زدگی، هوازدگی و پوشش سطحی برای بدست آوردن اطلاعات زمین‌شناسی، ساختمانی و اکتشاف منابع معدنی فلزی می‌باشد.

به علت امکان استفاده از فیلترهای مختلف در هنگام پردازش داده‌ها، می‌توان بسیاری از مشخصات زمین‌شناسی حتی در اعماق را به راحتی مشخص نمود.

در طی انجام پروژه زون اکتشافی خوی - اشنویه، برگه ۱:۱۰۰،۰۰۰ قره‌ضیاءالدین با مشخصات ذیل مورد تجزیه و تحلیل قرار گرفت.

فاصله خطوط پروازی: ۷/۵ Km

ارتفاع پرواز: ۶۵۰۰ فوت

در حین انجام این پروژه از نقشه زمین‌شناسی ۱:۱۰۰،۰۰۰ قره‌ضیاءالدین که توسط ا.اسکویی، ب. حاجی علیلو تهیه شده استفاده گردیده است. البته به علت برفگیر بودن منطقه، کنترل و تطبیق صحرایی که لازمه این پروژه می‌باشد، انجام نگرفت.

موقعیت جغرافیایی و مورفولوژی

منطقه مورد مطالعه در شمال غرب ایران با مختصات جغرافیایی $30^{\circ} - 45^{\circ}$ شرقی و $39^{\circ} - 30^{\circ}$ شمالی قرار گرفته است. قسمت شمال شرقی آن به رود ارس محدود و از طرف شمال به تپه ماهور و دشت‌های جنوب پلدشت محدود می‌گردد. بلندترین نقطه منطقه با ارتفاع ۲۰۶۳ متر در کوههای یله‌داغ در جنوب روستای چورس و پست‌ترین نقطه آن با ارتفاع ۷۲۰ متر در کنار رودخانه ارس واقع شده است.

در این منطقه دو رود بزرگ ارس و قطور چای جریان دارد. رود ارس از ارتفاعات آرارات (ترکیه) سرچشمه گرفته و در منطقه مورد بررسی از یک دره باریک ژرف گذشته و سرانجام به دریای مازندران می‌ریزد. رود قطورچای از کوههای مرزی ایران و ترکیه سرچشمه گرفته و پس از گذر از شهرستان خوی از راه دره مرکان به رودخانه ارس می‌پیوندد.

برای رسیدن به منطقه، می‌توان از جاده آسفالته تبریز - ماکو استفاده نمود که در جهت شمال شرقی - جنوب غربی از منطقه عبور می‌کند. جاده‌های مرند - خوی، خوی - جلفا و خوی - قره‌ضیاءالدین از جاده‌های اصلی منطقه، محسوب می‌شوند. برای دستیابی به نقاط مختلف منطقه می‌توان از راههای شوسه و خاکی درجه دو و درجه سه استفاده کرد.

زمین‌شناسی منطقه :

ریخت‌شناسی

از نظر ریخت‌شناسی منطقه به دو بخش بلند و پست تقسیم می‌گردد. بخش بلند منطقه با روند شمال شرقی - جنوب غربی از کوههای سرکش و علیباشی در شمال منطقه، شروع شده و در ادامه با کوههای صفرداغی به ارتفاعات سیه چشم می‌رسد. بخش‌های پست‌تر در شمال و جنوب این رشته کوههای قرار دارند.

قسمت‌های مرتفع بیشتر از سنگهای آهکی پالئوزوئیک، گرانیت، آهک‌های کرتاسه و الیگومیوسن پوشیده شده است. اغلب در اثر فرسایش رودها، دیواره‌هایی در این سنگهای آهکی بوجود آمده است که کار پیمایش در این دره‌هارا دشوار می‌سازد. همچنین جاهای مرتفع به علت داشتن سنگهایی با مقاومت‌های مکانیکی متفاوت دارای توپوگرافی خشن‌تری نسبت به بخش‌های دیگر هستند.

قسمت‌های شمال غربی، جنوب غربی و مرکزی به علت پوشیده شدن سطح آنها از رسوبهای نرم و فرسایش‌پذیر نئوژن، دارای توپوگرافی ملایم و ارتفاع بسیار کمی هستند. اختلاف ارتفاع کف رودخانه‌ها و آبراهه‌ها خیلی کم بوده و حداقل به ارتفاع ۴۰۰ متر می‌رسد. بخش‌های جنوب خاوری بیشتر توسط آگلومرا و آندزیت پوشیده شده و بدین علت دارای توپوگرافی خشن می‌باشد.

کنار رودخانه قطره چای به علت پوشیده شدن از رسوبهای کواترنری دارای آب فراوان و زمینهای حاصلخیز است.

چینه‌شناسی

سنگ‌های موجود در منطقه متعلق به پرکامبرین تا عهد حاضر و از قدیم به جدید به شرح زیر

می‌باشد:

سازند کهر

واحدهای سنگی پرکامبرین (Pk) کهن‌ترین واحدهایی هستند که در قسمتهای باختری محدوده نقشه برونزد دارند این واحدها بیشتر از ماسه سنگ‌های کوارتزیتی، ماسه سنگ ریزدانه و تیره رنگ دگرگون شده، فیلیت، اسلیت و سنگ آهک‌های دگرگون شده (m) تشکیل یافته است. تمامی این سنگها به سختی خرد شده‌اند. سنگ‌های فیلیت و اسلیت در نمونه دستی سبز رنگ بوده و سریسیت نیز در آنها دیده می‌شود. در بررسیهای میکروسکوپی، این سنگها به صورت بسیار ریزدانه‌اند و از کوارتز، کریپتوکریستالین و کانیهای سریسیت و کلریت تشکیل شده‌اند و کانیها دارای جهت یافته‌گی کمی هستند. این واحد توسط سنگ‌های رسوبی جوانتر از خود مانند سازند درود یا سنگ‌های دونین با سطح تماس از نوع دگرشیبی زاویه‌دار پوشیده می‌شود و توسط گرانیتهای با سن پس از پرمین به طور محلی بریده می‌شود. در لابلای سنگ‌های رسوبی کهر لایه‌های سنگ آهکی دگرگون شده و سفیدرنگی دیده می‌شود که در بررسیهای سنگ‌شناسی و میکروسکوپی دارای بافت دانه‌ای و درشت بلور هستند. این مرمرها به سختی خرد شده‌اند و در درز و شکافهای آنها کلریت دیده می‌شود. گاهی در داخل آنها کانی پیریت نیز ملاحظه می‌گردد. این سنگها به صورت عدسی و باستبرای متفاوت در سازند کهر وجود دارند.

(D) دونین:

بیرونزدگیهای سنگ‌های دونین بیشتر در دره مرکان که توسط قطورچای ایجاد شده و در کنار جاده ایواوغلى به قره ضیاء‌الدین دیده می‌شود. سنگ‌های دونین در این منطقه بیشتر شامل

سنگهای کربناته، از قبیل دولومیتهاي خاکستری رنگ و سنگ آهک و ماسه سنگهای کوارتزدار خاکستری و صورتی و ژیپس می‌شود.

همچنین سیلهای با ترکیب گابرویی در این مجموعه دیده می‌شود که کمی دارای کانی سازی آهن و مس هستند.

سطح قاعده این واحد در این منطقه برونزد ندارد ولی در بخش بالایی برونزدی از لایه‌های گچی مشاهده می‌شود که به طور هم شیب توسط لایه‌های ماسه سنگی سازند جیروود پوشیده شده است.

با توجه به رخساره سنگی و موقعیت چینه‌شناسی می‌توان این مجموعه را هم ارز با سازند پادهات در ایران مرکزی دانست. لایه‌های آهکی این مجموعه در نمونه دستی دارای آثار فراوان برآکیوپود است.

در این ناحیه سازندهای مختلف زمین‌شناسی از پرکامبرین تا عهد حاضر شامل سنگهای آذرین-رسوبی و دگرگونی می‌باشد.

قدیمیترین برونزدگیها مربوط به سازند کهر (پرکامبرین) می‌باشد که در قسمت غرب و مرکز (لکه برونزدگی دارای وسعت کم) برونزدگی دارد.

بخشهای زیادی از منطقه توسط آبرفت‌های کواترنری پوشیده شده است و بیشترین برونزدگیها (شامل) موارد زیر می‌باشد:

۱- سنگهای آذرآواری و کنگلو‌مرا (پالئوژن-ائوسن) در شرق

۲- کنگلو‌مرا (کواترنر) در جنوب، غرب و شمال غرب

۳- سازند جیروود (دونین) در شمال و شرق

۴- سنگ آهک تیره (پرمین-تریاس) در شمال شرق و شمال غرب و غرب

۵- آهک توده‌ای تا لایه لایه در غرب (نتوژن)

در منطقه مورد مطالعه رخمنونهای دورانهای مختلف عبارتند از:

۱-پرکامبرین

۱-۱-سازند کهر شامل کلریت، سریسیت، شیست و توف می باشد.

۲-دونین

۱-۲-برونزدگیهای دونین D شامل دولومیت خاکستری، گچ، ماسه سنگ و سنگ آهک
قرمزرنگ می باشد.

۲-۲-سازند جیرود DC شامل شیل سبز با میان لایه هایی از ماسه سنگ و سنگ آهک

۳-۲-دیاباز اسپیلیتی (آذرین) Sp

۳-پرمین - تریاس

۱-۳-Pd شامل ماسه سنگ قرمز تیره و کمی میان لایه هایی از ماسه سنگ و سنگ آهک

۲-۳-P شامل سنگ آهک به رنگ خاکستری تیره، سنگ آهک مارنی به رنگ قرمز و شیل در

بخش بالایی

۳-۳-TRe سازند الیکا شامل دولومیت، ستبرلایه به رنگ خاکستری آهک و رمیکوله، شیل
آهکی

۴-کرتاسه

۱-۴-نهشتہ های تیپ فلیش Ku^{fl}

۲-۴- Ku^{l2} شامل آهک گلوبوترونکانادر

۵-پالئوژن

۶-ائوسن

۱-۱-۵-سنگهای آذرآواری و کنگلومرا Eo^{al}

۲-۱-۵-آندریت پورفیری Ea^{ac}

۷-تئوژن

۸-میوسن

-۱-۱-۶ M^{mg2} مارن نمکدار و گچ دار به رنگ قرمز و سبز لایه های گچ

-۲-۱-۶ M^{ms2} تناوب ماسه سنگ و مارن

-۳-۱-۶ آهک توده ای لایه لایه به رنگ خاکستری روشن M^l

-۴-۱-۶ M^c کنگلومرا با میان لایه هایی از ماسه سنگ قرمز و مارن

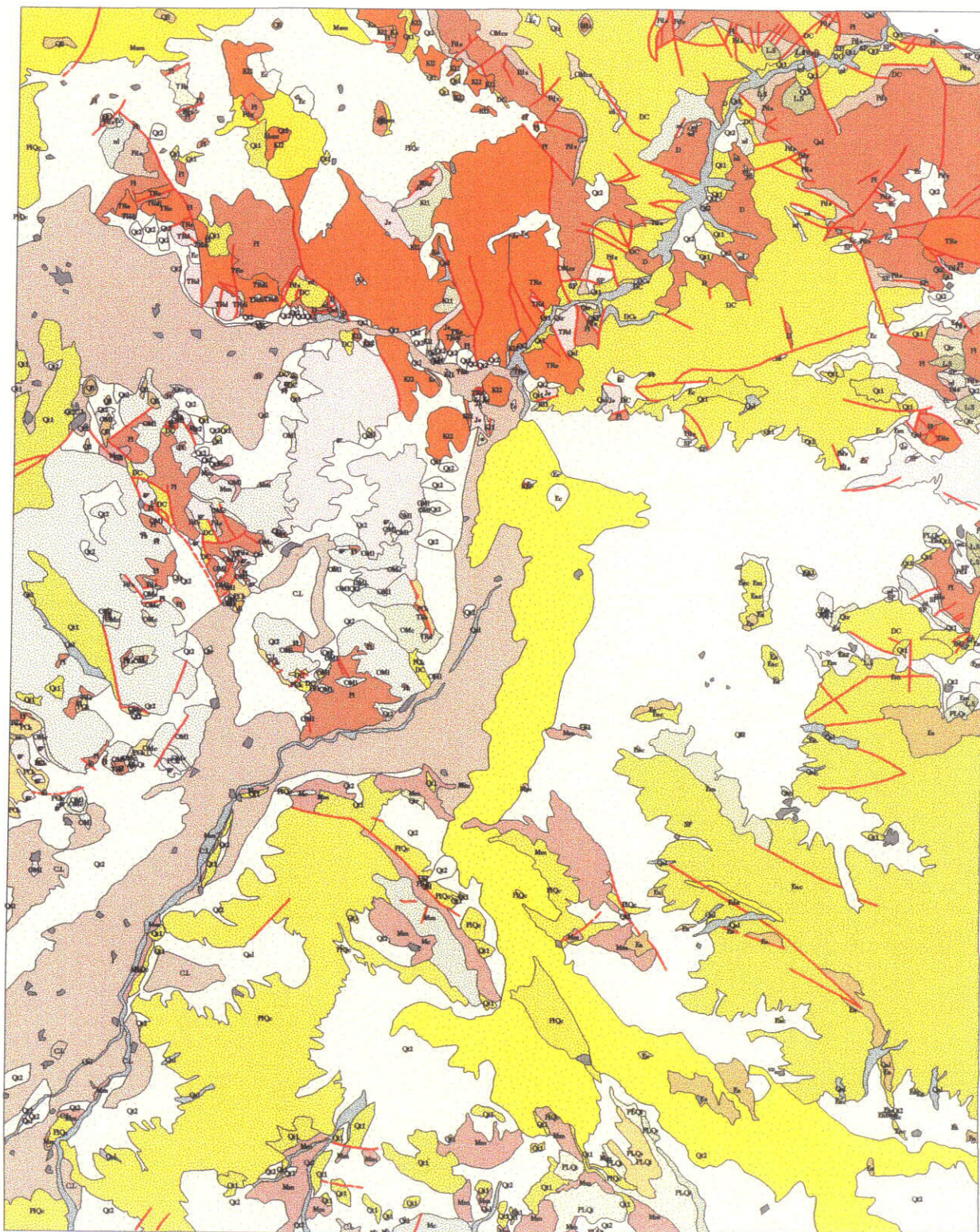
-۷- لارامید گرانیت قوشچی G^g (آذرین)

-۸- کواترنر

-۱-۸ Qpe^u تراکی آندزیت - داسیت، گدازه های ریوداسیت و گنبدهای آتشفسانی

-۲-۸ Qp^1 کنگلومرا با میان لایه های مارن

GEOLOGICAL MAP OF QAREHZIA



| |
|---------------|
| City_cover |
| Qarhada.dgn |
| 1 |
| Qareh _ cover |
| * |
| Ea |
| Js |
| OMc |
| PCK |
| PLQv |
| TRe |
| * |
| C.L |
| D |
| DC |
| DCs |
| Ea |
| Eac |
| Ec |
| Eco |
| Eda |
| Em |
| Js |
| KI1 |
| KI2 |
| Ks |
| Kv |
| L.S |
| Mc |
| Mm |
| Msm |
| OMc |
| OMcs |
| OMI |
| PCK |
| PLQt |
| PLQv |
| Pds |
| PI |
| PIQc |
| Qal |
| Qfl |
| Qt1 |
| Qt2 |
| Qtr |
| SF |
| SP |
| TRd |
| TRdi |
| TRe |
| di |
| gr |
| m |
| rd |

بررسیهای مغناطیس سنجی:

نقشه شماره ۱ (نقشه شدت کل میدان مغناطیسی)

نقشه شماره یک، نقشه شدت کل میدان مغناطیسی ناحیه قره ضیاء الدین می‌باشد. حداکثر شدت میدان در این ناحیه ۳۹۸۲۲/۱ نانوتسلا و حداقل شدت میدان در این ناحیه ۲۹۴۸۸/۹ نانوتسلا می‌باشد.

در این نقشه ناحیه به ۲ محدوده شرقی و غربی تقسیم می‌گردد، آنومالی‌های موجود در ناحیه شرقی E_1 , E_2 , E_3 , E_4 و آنومالی‌های موجود در ناحیه غربی W_1 , W_2 می‌باشند.

ناهنجری E_1 :

این ناهنجاری تقریباً در منطقه مرکزی ناحیه قره ضیاء الدین قرار دارد ناهنجاری E_1 با شدت متوسط تا بالا بر روی واحدهای (آگلومرا - توف - کنگلومرا و گدازهای برشی) و (پیروکسن آندزیت) و آبرفت کواترنر گرفته است.

با توجه به رخمنون پیروکسن آندزیت در قسمتهايی از اين واحدها و با توجه به نقشه‌هاي فراسو می‌توان نتيجه گرفت که پیروکسن آندزیت در زير واحدهای (آگلومرا - توف - کنگلومرا و گدازهای برشی) و آبرفتهای کواترنر ادامه یافته است و شدت نسبتاً بالای مغناطیسی را سبب گردیده است.

ناهنجری E_2 :

این ناهنجاری در قسمت شرقی ناحیه قرار دارد و از شدت متوسط تا بالا برخوردار است. همچنین در قسمت شرقی و با فاصله نزدیک از این ناهنجاری یک ناهنجاری با شدت پایین قرار گرفته است. این ناهنجاری بر روی واحدهای (آگلومرا - توف - کنگلومرا - گدازهای برشی) و (آبرفت کواترنر) و (رسوبات رودخانه‌ای عهد حاضر) و (مارنهای گچ‌دار همراه با میان لایه‌های

مغناطیسی از این قسمت عبور کرده و آن را به دو قسمت شرقی و غربی تقسیم می‌کند این ناهنجاری بر روی واحدهای (آگلومرا - توف - کنگلومرا - گدازهای برشی) و (آبرفتهای کواترنر) و (پیروکسن آندزیت) دارد. با توجه به فیلترهای دیگر اعمال شده، ناهنجاری در سمت چپ سطحی‌تر می‌باشد و هر دو را می‌توان به گسترش توده پیروکسن آندزیت در زیر واحدهای نامبرده بالا مربوط دانست.

ناهنجاری E₄:

این ناهنجاری در جنوب شرق ناحیه قرار گرفته و شدت بالایی را نشان می‌دهد. ناهنجاری E₄ بر روی واحدهای (آبرفتهای کواترنر) و (پیروکسن آندزیت) و (آگلومرا - توف - کنگلومرا - گدازهای برشی - پومیس) و (تراکی آندزیت) و (مارن قرمز و خاکستری نمکدار و ژیپس‌دار) و پهنه‌های نمکی قرار گرفته است. با توجه به فیلتر مشتق قائم این ناهنجاری خود به چند ناهنجاری سطحی تقسیم می‌شود و یکی از این ناهنجاری‌های سطحی با توجه به فیلترهای گسترش عمقی، به سمت جنوب شرق و با زاویه نسبتاً زیاد شیب دارد. علت بالا بودن شدت گسترش پیروکسن آندزیت و یا تراکی آندزیت در زیر واحدهای نامبرده دانست.

ناهنجاری W_1 :

این ناهنجاری در جنوب غرب ناحیه واقع شده و از شدت متوسط تا بالا برخوردار می‌باشد. این قسمت بر روی واحدهای کنگلومرا - رسوبات رودخانه‌ای عهد حاضر - مارن قرمز نمکدار و ژیپس‌دار - آبرفتهای جوان کواترنر - آبرفتهای قدیم و رخنمونهای (گرانیت) و (شیل‌های دگرگون شده - اسلیت - فیلیت - ماسه سنگ دگرگون شده تیره رنگ) و (آهک و شیل‌های تیره رنگ همراه با مارن و سیلهای آکالی گرانیتی) قرار دارد. با توجه به فیلترهای مختلف این آنومالی از سطح تا عمق گسترش دارد. خطواره‌های مغناطیسی از این قسمتها عبور می‌کند. شدت بالا را می‌توان به وجود باتولیت گرانیتی در زیر آبرفتهای سطحی نسبت داد.

ناهنجاری W_2 :

این ناهنجاری در شمال غرب ناحیه واقع شده و شدت متوسط تا بالایی را نشان می‌دهد. این ناهنجاری بر روی واحدهای (سازند الیکا) و (دولومیتهای توده‌های خاکستری رنگ) و (کنگلومرای قرمز) و (دیاباز آلتره شده) و (آبرفتها) و (توف پومیس - آگلومرا) و (گرانیت) و (دیاباز) قرار دارد. این آنومالی با توجه به فیلترهای دیگر اعمال شده سطحی می‌باشد و فقط قسمت شمال شرق آنومالی کمی هم در عمق گسترش دارد. خطواره مغناطیس از این آنومالی هم می‌گذرد.

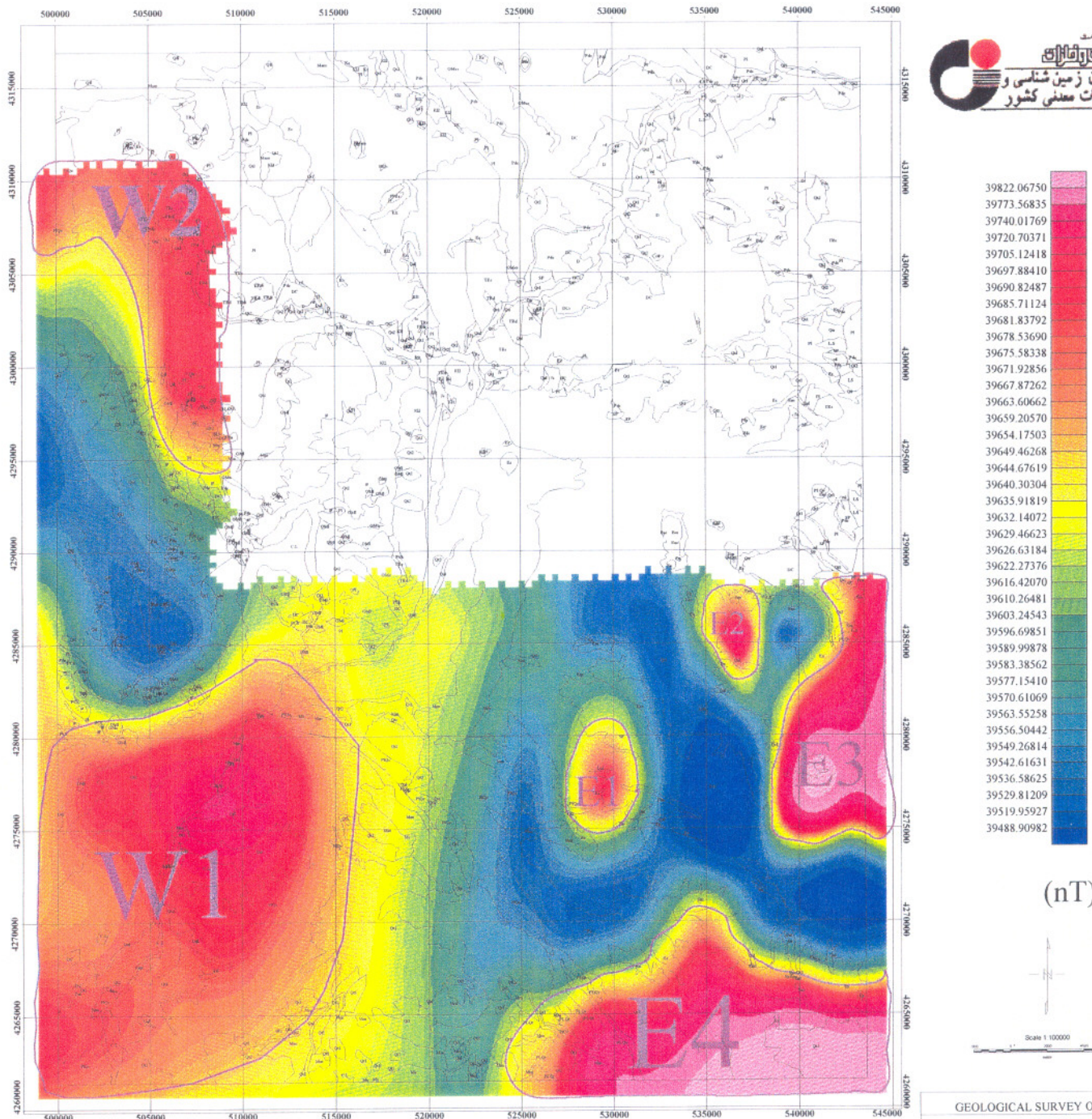


FIG : 1

GEOLOGICAL SURVEY OF IRAN
GIS GROUP
LINE SPACING: 7.5 KM
TOTAL MAP

AREA: QAREHZIA
PROVIDED BY: M.GHANBARI M.MOAZZENI

نقشه شماره ۲ (نقشه برگردان به قطب)

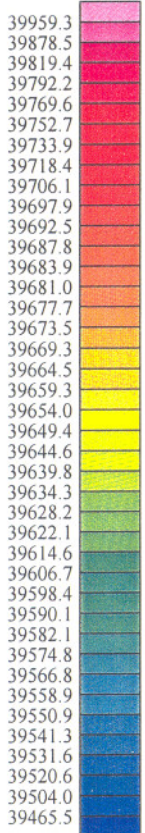
بردار میدان مغناطیسی زمین در عرضهای مغناطیسی مختلف دارای شیب‌های مختلف می‌باشد. این بردار در استوای مغناطیسی افقی و در قطب‌ها قائم می‌باشد. در نقشه‌های total بردار میدان مغناطیسی زمین با بردار حاصل از میدان مغناطیسی توده‌های زمین جمع شده و بردار بر آیند، برابر شدت کلی میدان در هر نقطه، می‌باشد. در این حالت بردار میدان زمین منطبق با بردار برآیند در آن نقطه (با توجه به عرض مغناطیسی آن) می‌باشد.

در نتیجه بی‌هنگاری درست در بالای سر منبع خود قرار می‌گیرد. برای انجام این کار نیاز به میل و انحراف مغناطیسی می‌باشد که در ناحیه قره ضیاءالدین به شرح زیر می‌باشد:

میل مغناطیسی ۵۵/۸۵۹ درجه

انحراف مغناطیسی ۱۱۵/۴ درجه

اعداد فوق طبق برنامه IGRF بر اساس مدل سال ۱۹۹۵ بدست آمده‌اند. با توجه به این نقشه بی‌هنگاری‌های ذکر شده در نقشه شدت کل میدان مغناطیسی، هنوز در این نقشه نیز وجود دارند. ولی در تعدادی در روند و اندازه آنها تغییراتی حاصل شده است. ناهنگاری E_1 تقریباً در جای خود قرار دارد. E_2 نیز در جای خود قرار داشته ولی اندازه آن کوچکتر شده است. ناهنگاری E_3 نیز در موقعیت خود جای دارد ولی ناهنگاری E_4 به سمت شمال غرب حرکت کرده و اندازه آن نیز بزرگتر است. ناهنگاری W_1 کمی به سمت شمال شرق حرکت کرده و ناهنگاری W_2 به سمت شرق حرکت کرده و از اندازه آن کاسته شده است. در این نقشه از شدت ناهنگاری‌های E_2 و W_2 به شدت کاسته شده است.



Scale 1:100000

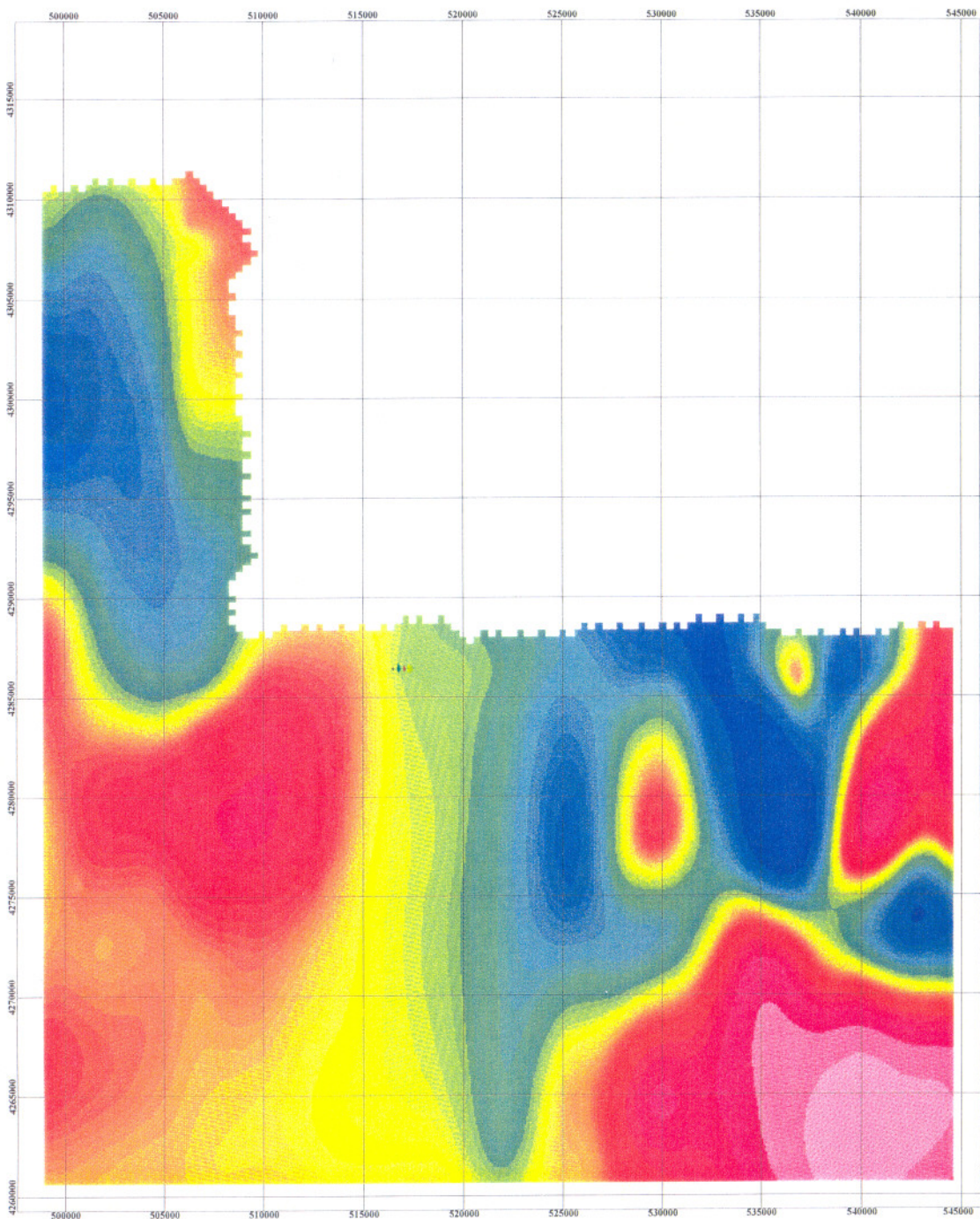


FIG: 2

| |
|----------------------------------|
| GEOLOGICAL SURVEY OF IRAN |
| GIS GROUP |
| REDUCTION TO POLE MAP |
| LINE SPACING: 7.5 KM |
| AREA QAREHZIA |
| PROVIDED BY:M.GHANBARI M.MOAZENI |

نقشه شماره ۳ (نقشه مشتق اول قائم)

این نقشه ناهنجاری‌های سطحی مغناطیسی را نمایش می‌دهد. ناهنجاری‌های موجود در نقشه‌های ۱ و ۲ در این نقشه نیز قابل مشاهده می‌باشد. در این نقشه در بعضی از مناطق تجزیه توده‌ها را مشاهده می‌کنیم (به طور مثال در ناهنجاری E_4 «با توجه به نقشه شماره ۱»).

در این نقشه محدوده مشخص شده با نام S نسبت به نقشه‌های شماره ۱ و ۲ شدت بالاتری را نشان می‌دهد که می‌تواند به علت حذف اثر زمینه باشد.

با توجه به این نقشه و نقشه شدت کل میدان مغناطیسی ناهنجاری‌های E_1 و E_2 و W_2 ناهنجاری‌های سطحی می‌باشد، ناهنجاری E_3 به ۲ ناهنجاری و ناهنجاری E_4 به ۵ ناهنجاری تفکیک می‌شود. ناهنجاری W_2 نیز کماکان در سطح مشاهده می‌شود.

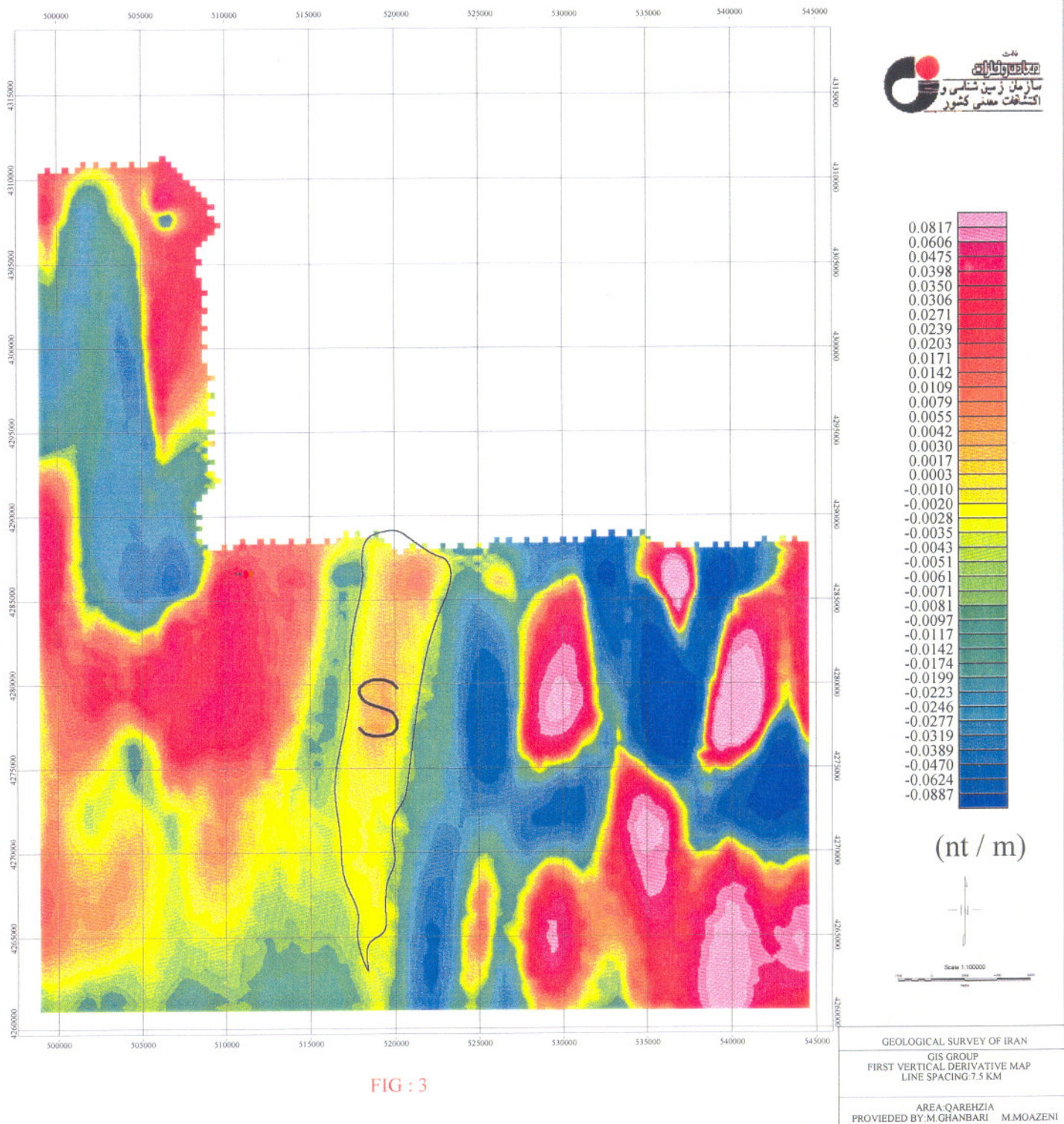


FIG : 3

۱۰۱ - ۱۰۲

نقشه شماره ۴ (نقشه سیگنال)

نقشه شماره ۴، نقشه سیگنال بوده و شکل منبع ناهنجاری را نمایش می‌دهد. در این نقشه منطقه به سه زون با ناهنجاری پایین، متوسط و بالا تفکیک می‌شود. در این نقشه در قسمت شرقی ناحیه (S1)، شدت بالای مغناطیس مشاهده می‌شود که بیانگر وجود منبع مغناطیسی در این قسمت و گسترش آن می‌باشد با توجه به نقشه زمین‌شناسی ناحیه تنها واحدی که می‌تواند از شدت بالای مغناطیسی برخوردار باشد (با توجه به رخمنون) آندزیت پیروکسن‌دار می‌باشد. که در این منطقه در زیر واحدهای سطحی دیگر گسترش دارد. در قسمت غربی ناحیه نیز ناهنجاری‌های W_1 و W_2 موجود در نقشه شماره ۱، شدت خود را از دست داده‌اند و فقط در بعضی از مناطق با وسعت کم، شدت متوسط تا بالای مغناطیسی دیده می‌شود (نواحی S₂, S₃, S₄) که بیانگر این موضوع می‌باشد که منبع مغناطیسی در این جا کوچک و محدود بوده و شدت‌های بالای مغناطیسی مشاهده شده در نقشه شماره ۱ ناشی از میدان‌های مغناطیسی محیط اطراف می‌باشد.

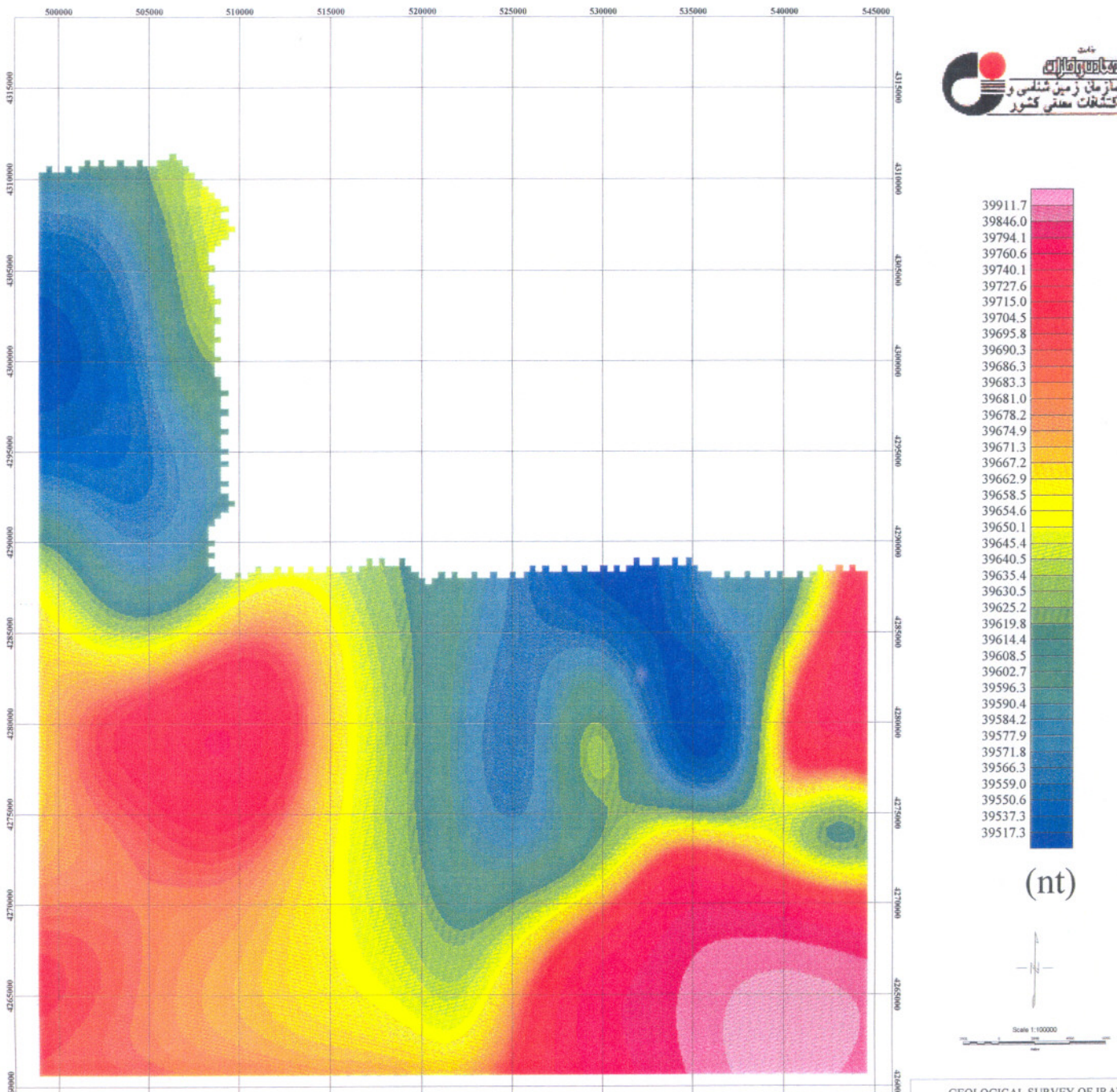


FIG : 5

GEOLOGICAL SURVEY OF IRAN

CONTINUE UP TO 2000 MAP
LINE SPACING:7.5 KM

AREA:QAREHZIA
PROVIEDED BY:M.GHANBARI M.MOAZENI

نقشه شماره ۵ (نقشه گسترش به طرف بالا «فراسو»)

در این نقشه با آوردن سطح به ۲۰۰۰ متر بالاتر از سطح پرواز اثر توده‌های عمیق مشخص شده است. با توجه به این نقشه و نقشه‌های دیگر مشخص می‌شود که ناهنجاری E_3 و E_4 و W_1 موجود در نقشه شماره ۱ به صورت عمیق بوده و ناهنجاری‌های E_1 و E_2 و W_2 در روی نقشه شماره ۱ سطحی می‌باشند. همچنین با توجه به نقشه شماره ۳ و نقشه شماره ۱ می‌توان دریافت که ناهنجاری‌های E_3 و E_4 و W_1 موجود در نقشه شماره ۱ از عمق تا سطح گسترش دارند.

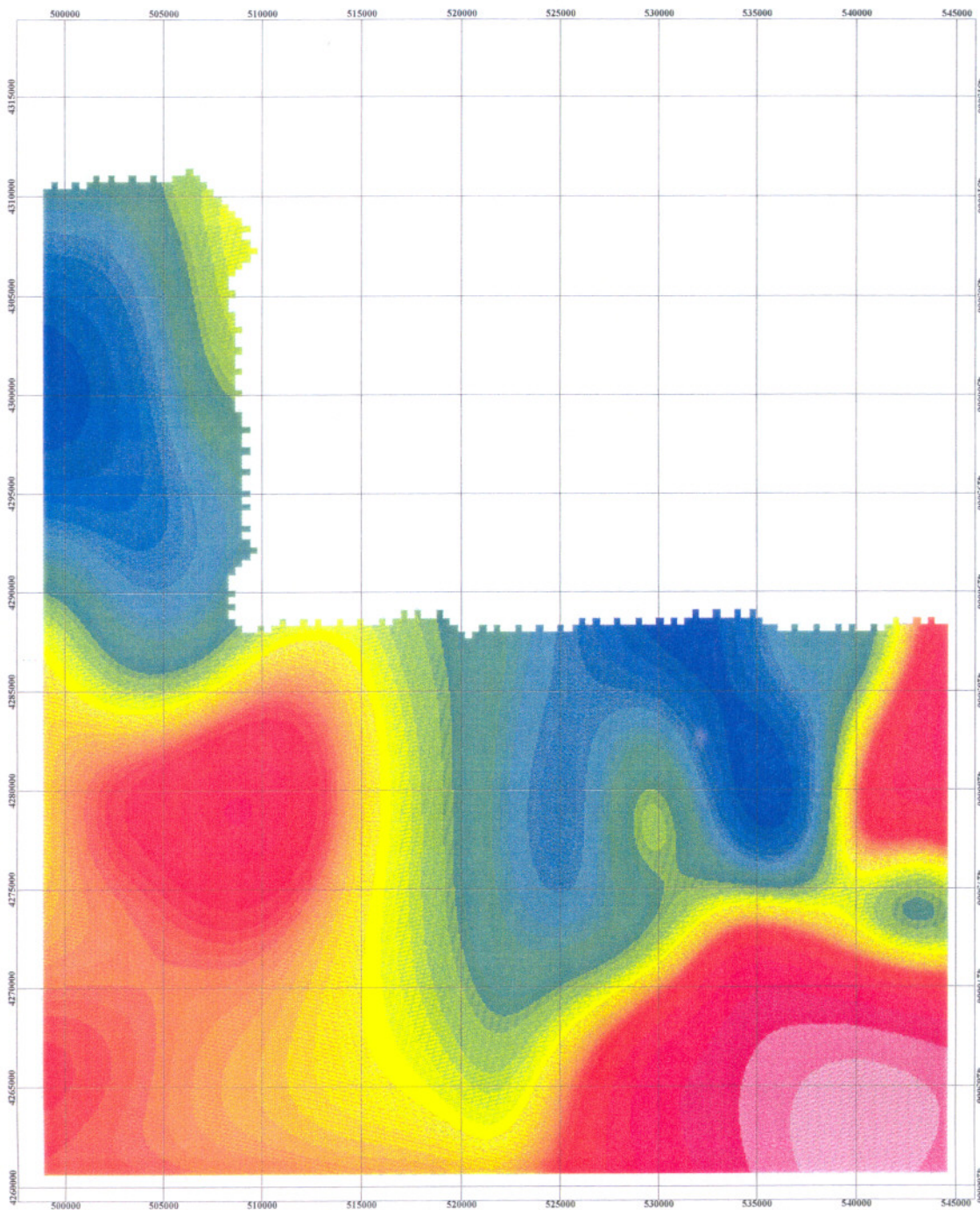


FIG : 5

دانشگاه
سازمان زمین شناسی و
کشاورزی ایران

| |
|---------|
| 39911.7 |
| 39846.0 |
| 39794.1 |
| 39760.6 |
| 39740.1 |
| 39727.6 |
| 39715.0 |
| 39704.5 |
| 39695.8 |
| 39690.3 |
| 39686.3 |
| 39683.3 |
| 39681.0 |
| 39678.2 |
| 39674.9 |
| 39671.3 |
| 39667.2 |
| 39662.9 |
| 39658.5 |
| 39654.6 |
| 39650.1 |
| 39645.4 |
| 39640.5 |
| 39635.4 |
| 39630.5 |
| 39625.2 |
| 39619.8 |
| 39614.4 |
| 39608.5 |
| 39602.7 |
| 39596.3 |
| 39590.4 |
| 39584.2 |
| 39577.9 |
| 39571.8 |
| 39566.3 |
| 39559.0 |
| 39550.6 |
| 39537.3 |
| 39517.3 |

(nt)



GEOLOGICAL SURVEY OF IRAN

CONTINUE UP TO 2000 MAP
LINE SPACING:7.5 KM

AREA:QAREHZIA
PROVIDED BY:M.GHANBARI M.MOAZENI

ie1-1d

نقشه شماره ۶ (نقشه بازتابش)

از نقشه شماره ۶ و تاباندن نور در جهات مختلف برای تعیین خطوارهای موجود و گسلها در منطقه استفاده گردید. برای تشخیص گسلها از دیگر نقشه‌ها نیز استفاده شد. بدین ترتیب گسلها شناسایی گردیدند که در زیر به شرح هر کدام می‌پردازیم:

گسل F_1 :

این گسل واحدهای کواترنر و C.L (زمینهای کشاورزی) را قطع می‌نماید و طول آن $4/6$ کیلومتر می‌باشد و در شمال غرب ناحیه واقع شده است آزیموت گسل برابر با $01/12$ درجه می‌باشد.

گسل F_2 :

این گسل رسوبات کواترنر (Q^{t2}) و C.L (زمینهای کشاورزی) و Q^{t1} (پادگانه‌های کهن) و Q^{f1} (آهک‌های آب شیرین) و $O^L M$ (آهک، سازند قم) و P^L (سازند روته) و g^r (گرانیت) را قطع می‌نماید و بر گسل زمین‌شناسی منطقه عمود می‌باشد.

گسل F_3 :

اپن گسل واحدهای $O^L M$ (آهک، سازند قم) و $P^L K$ (سازند کهر) و Q^{t2} (رسوبات کواترنر) و C.L (زمینهای کشاورزی) و Q^{al} (رسوبات رو دخانه‌ای عهد حاضر) و M^c (سازند سرخ بالایی) و Q^{t1} (پادگانه‌های کهن) را قطع می‌نماید و گسل F4 را در واحد Q^{al} قطع نموده و طول آن $17/15$ کیلومتر و آزیموت آن برابر $38/20$ درجه می‌باشد. بخش جنوبی این گسل با روند گسل شمال شرقی - جنوب غربی گسل واحد PLQ^c (کنگلومرا) همخوانی دارد.

گسل F₄

این گسل رسوبات کواترنر (Q^{t2}) و Q^{al} (رسوبات رودخانه‌ای عهد حاضر) و C.L (زمینهای کشاورزی) و gr (گرانیت) و PK (سازند کهر) و Pd^s (سازند درود) و m (مرمر) را قطع نموده و طول آن ۱۹/۷۲ کیلومتر با آزیموت ۱۲۶/۲۹ درجه می‌باشد.

گسل F₅

طول بسیار کوتاهی از آن بر روی نقشه زمین‌شناسی دیده می‌شود ولی ادامه آن بر روی نقشه مغناطیسی مشاهده می‌گردد این گسل واحدهای M^m (سازند سرخ بالایی) و آبرفتها و E^{ac} (آگلومرا و توف و کنگلومرا و گدازهای برشی) و E^a (پیروکسن آندزیت) را قطع می‌نماید. طول این گسل ۱۱/۰۱ کیلومتر و آزیموت آن ۱۵/۳۱ درجه می‌باشد.

گسل F₆

این گسل در نقشه زمین‌شناسی نشان داده نشده است. این گسل واحدهای M^m (سازند سرخ بالایی) و Q^{t1} (کواترنر، پادگانه‌های کهن) و PLQ^c (کنگلومرا) را قطع می‌نماید و طول آن ۱۴/۳۶ کیلومتر با آزیموت ۱۶/۶ درجه می‌باشد.

گسل F₇

این گسل در نقشه زمین‌شناسی نشان داده نشده است. این گسل واحدهای PLQ^t (توف، پومیس، آگلومرا و کنگلومرا) و M^m (سازند سرخ بالایی) و کواترنرها و SF (پنه‌های نمکی) را قطع نموده و طول آن ۱۳/۲ کیلومتر با آزیموت ۱۸/۰۷ درجه می‌باشد.

گسل F8 :

این گسل در نقشه زمین‌شناسی آورده نشده است و گویا با رسوبات کواترنر پوشیده شده است (باید کنترل صحرایی شود) طول آن $1/5$ کیلومتر و آزیموت آن برابر با $169/29$ درجه می‌باشد.

گسل F9 :

این گسل واحد E^{ac} (آگلومرا و توف و کنگلومرا و گدازهای برشی) و آبرفت‌های کواترنر را قطع می‌نماید این گسل در نقشه زمین‌شناسی مشخص نگردیده است. طول گسل $22/57$ کیلومتر و آزیموت آن $140/32$ درجه می‌باشد. این گسل با روند گسل زمین‌شناسی در شمال قوشقايا همخوانی دارد.

گسل F₁₀ :

این گسل واحد E^{ac} (آگلومرا و توف و کنگلومرا و گدازهای برشی) را قطع نموده و طول آن $8/7$ کیلومتر با آزیموت $175/46$ درجه می‌باشد.

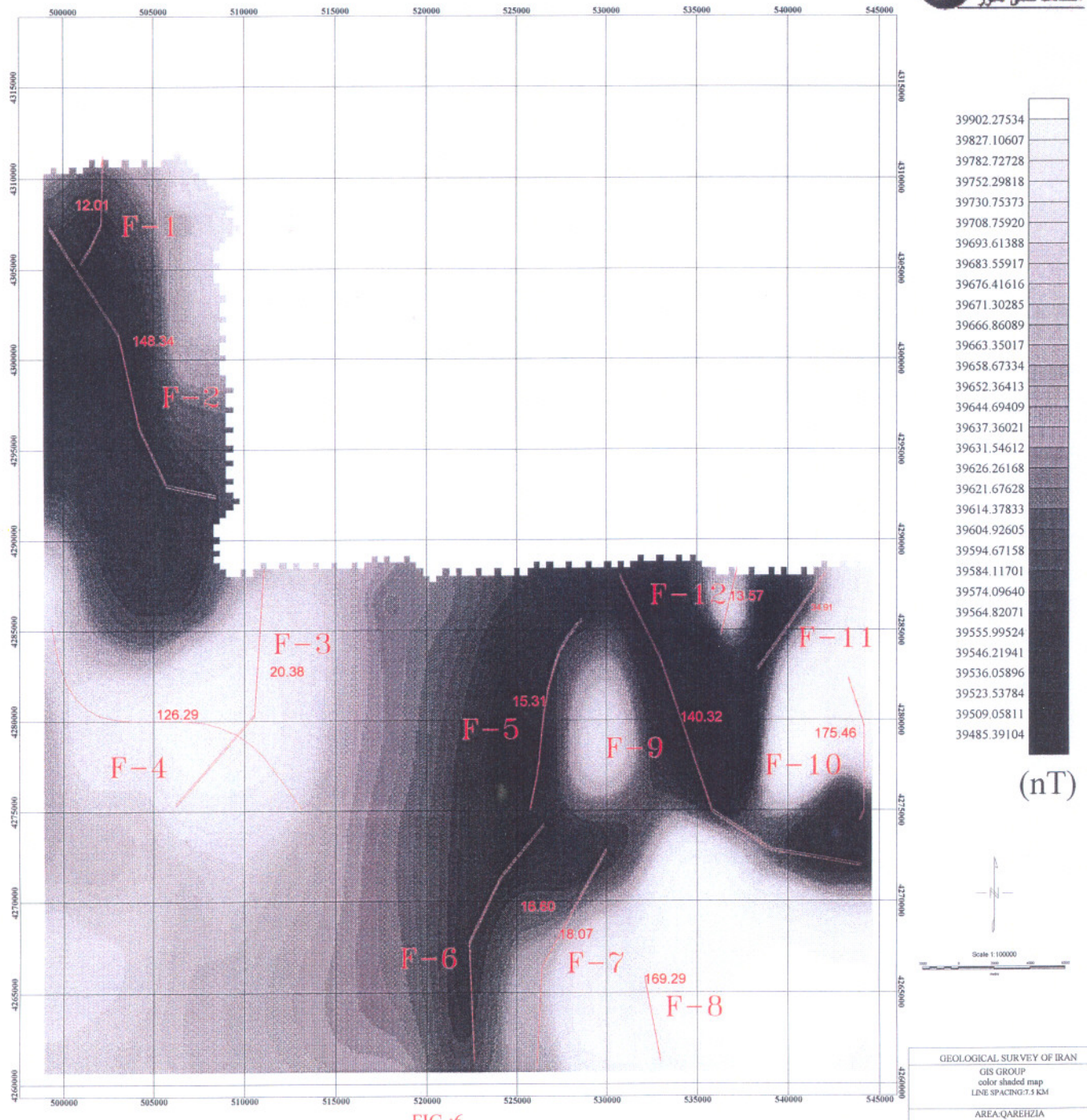
گسل F₁₁ :

این گسل واحدهای E^{ac} (آگلومرا و توف و کنگلومرا و گدازهای برشی) و E^a (پیروکسن آندزیت) و E^m (مارنهای گچ‌دار) و Dc (سازند جیرود) و Q^{t1} (پادگانهای آبرفتی) را قطع می‌کند. ادامه این گسل در واحد Q^{t1} در روی نقشه زمین‌شناسی مشخص شده و گویا در این واحد ادامه یافته است ولی ادامه آن در نقشه مغناطیس به علت نبود داده‌های مغناطیسی مشخص نیست. این گسل در روی نقشه زمین‌شناسی (به جز واحد Q^{t1}) مشخص نگردیده است. این گسل دارای طولی برابر با $6/7$ کیلومتر با آزیموت $34/91$ درجه می‌باشد.

گسل : F_{12}

این گسل واحدهای E^m (مارنهای گچدار) و E^{ac} (آگلومرا و توف و کنگلومرا و گدازهای برشی) را قطع می‌نماید. این گسل در روی نقشه زمین‌شناسی نشان داده نشده است ولی بر روند گسل زمین‌شناسی منطقه عمود می‌باشد. طول این گسل ۳/۶۵ کیلومتر با آزیموت ۱۲/۵۷ درجه می‌باشد.

همچنین ذکر این نکته لازم می‌باشد که گسل‌های مشخص شده در بالا همان خطواره‌های مغناطیسی می‌باشند که در این جا با نام گسل آورده شده‌اند و باید در عملیات صحرایی کنترل شوند.



نتیجه‌گیری:

نقشه شماره ۷ (نقشه تفسیری یا نقاط امیدبخش)

در این نقشه، مناطق امیدبخش مشخص شده‌اند، که تعداد آنها پنج (۵) محدوده می‌باشد. در اینجا به شرح هر یک از مناطق مذکور می‌پردازیم:

محدوده ۰۱:

محدوده ۰۱ در جنوب شرق ناحیه واقع شده است. در نقشه شماره یک (نقشه شدت کل میدان مغناطیسی) این ناحیه شدت‌های مغناطیسی بالاتا پائین را در برمی‌گیرد. از نظر منبع مغناطیسی نیز با توجه به نقشه سیگنال، ناهنجاری مغناطیسی وجود دارد و یک توده مغناطیسی با شدت بالا مشاهده می‌شود و با توجه به نقشه مشتق قائم و نقشه فراسو، این توده از شدت مغناطیسی بالایی برخوردار بوده و از سطح تا عمق ادامه یافته است و در این ناحیه خطواره یا گسل شماره F9 عمل نموده که با روند گسل زمین‌شناسی در منطقه تقریباً همخوانی دارد.

این محدوده شامل واحدهای پیروکسن آندزیت (E^a) و E^{al} (آگلومرا و توف و گدازهای برشی و کنگلومرا) می‌باشد که به طور نسبی دارای شدت مغناطیسی بالا می‌باشند، این محدوده برای کنترل بیشتر معرفی می‌شود.

محدوده ۰۲:

این محدوده در شرق ناحیه مورد مطالعه قرار داشته و در نقشه شماره یک (شدت کل) شدت بالایی از خود نشان می‌دهد در نقشه سیگنال یک منبع مغناطیسی با شدت بالا نشان می‌دهد ولی در نقشه فراسو شدت مغناطیسی منبع کاهش یافته و دارای مقدار پایینی می‌باشد که می‌توان نتیجه گرفت این منبع سطحی است. در این ناحیه گسلهای متقطع زیادی در نقشه زمین‌شناسی

ملاحظه می‌گردد. در نقشه مغناطیسی گسلهای شماره F11 و F12 مشاهده می‌شود. این محدوده نیز برای کنترل بیشتر معرفی می‌شود.

محدوده 03:

در غرب ناحیه مورد مطالعه قرار دارد و در نقشه شماره 1 شدت مغناطیسی متوسط تا بالا را از خود نشان می‌دهد. در نقشه سیگنال نیز یک منبع مغناطیسی با شدت متوسط تا بالا را از خود نشان می‌دهد و در نقشه فراسو و مشتق قائم نیز وجود دارد که نشان دهنده توده عمیقی است که از سطح تا عمق ادامه یافته است. در نقشه مغناطیسی این ناهنجاری شامل گسلهای F_3 , F_4 که دو گسل مقاطع می‌باشند بوده و یکی از نقاط امیدبخش مهم در این منطقه به شماره می‌رود. در روی نقشه زمین‌شناسی این ناهنجاری بر روی واحدهای گرانیت (gr) (شیلهای دگرگونی، اسلیت و فیلیت و ماسه سنگ دگرگون شده تیره رنگ) PK (سازند کهر) و سازند روت (P^L) و سازند الیکا قرار دارد.

این ناهنجاری که دارای شدت مغناطیسی نسبتاً بالایی است با زمین‌شناسی منطقه همخوانی نداشته و باید کنترل صحرایی شود.

محدوده‌های 04 و 05:

این محدوده‌ها در شمال غرب منطقه مورد مطالعه قرار دارند و در نقشه شماره یک شدت نسبتاً بالایی را از خود نشان می‌دهند و در نقشه سیگنال به دو منطقه شمالی - جنوبی تقسیم می‌شوند. در نقشه فراسو شدت این آنومالی کاهش یافته و مقدار شدت مغناطیسی بسیار کم می‌گردد و در نقشه مشتق قائم از شدت بالایی برخوردار می‌باشد که نشان دهنده سطحی بودن این آنومالی است. در این آنومالی گسلهای شماره یک و دو مشاهده می‌شود و در روی نقشه زمین‌شناسی بر روی واحدهای TR^{di} و P² و TR^d و D و P^{ds} و گرانیت قرار دارد این

محدوده‌ها نیز برای کنترل بیشتر معرفی می‌گردند.

(دولومیت‌های توده‌ای خاکستری) TR^d

(دیابازهای آلتره شده) TR^{di}

(دولومیت خاکستری و آهک، ماسه سنگ کوارتزیتی و گچ همراه با سیلهای گابرویی) D

(سازند الیکا) TRe

(سازند روت) P^L

(سازند درود) Pd^s / ب ۱۸۱

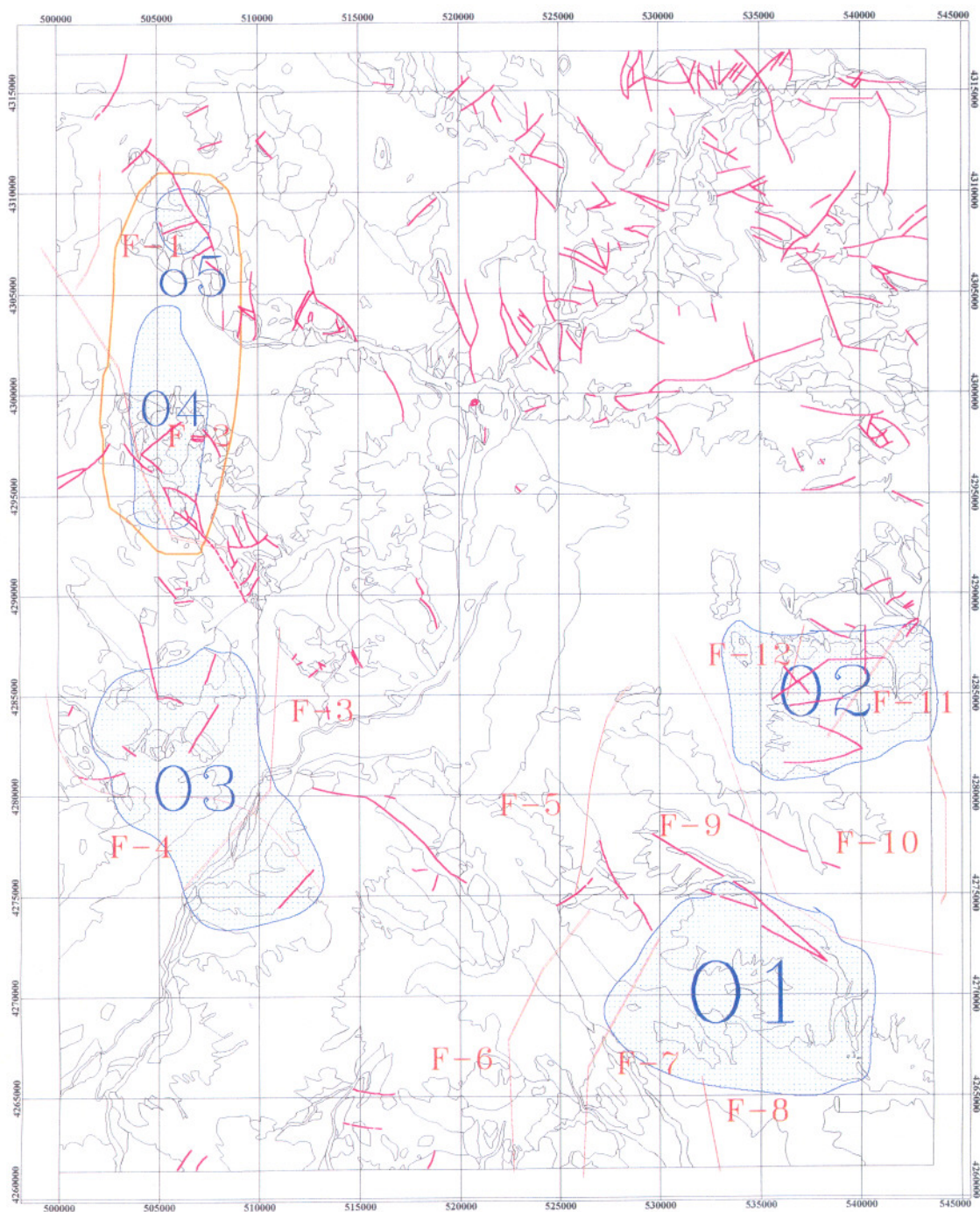


FIG : 7

